

III - 1 変形を拘束された粒状体の破壊について

東京大学生産技術研究所

龍田文夫

上下端で摩擦力があるため、供試体の変位が過大評価する事や(図1)、並に地盤内に伸びにくい補強材を配置して支持力を増加する補強工法は、変形を拘束された粒状体の破壊の問題である。自重と内部摩擦角がある粒状体の極限塑性応力状態の解は、山口¹⁾、Sokolovskii²⁾が与えている。応力のつり合い式、極限応力状態を規定する破壊条件式から得られる特性微分方程式を積分し、すべり線網を作れば、極限応力状態における応力分布(上界値)が求まる。しかし、この積分は任意の境界条件に対して簡単に実行する訳ではない。本論文では、図1の場合を対象とした近似的な簡易積分法について報告する。

自重を無視し、二次元応力状態のつり合い方程式を求める(1)式となる。
 粒状体全体が破壊状態にあれば、図4に示す関係(2)式を(1)式に代入すると、(3)式が得られる。ただし、 φ は x 方向と y 軸方向がなす角度であり(図3)、 $\sigma = \frac{1}{2}(\sigma_1 + \sigma_3)$ である。(4)式を用いて、 $(3-1) \times \sin(\varphi + \varepsilon) - (3-2) \times \cos(\varphi + \varepsilon)$ の計算をすると(5)式が得られる。(6)式を用いると(5)式は簡略化されて(7)式を得る。(7)式は、(8)式が成り立つ時(9)式が成り立つ事を意味する。すなわち、(8)式は図3を参照して、すべり線の方向をあらわしていることから、すべり線上沿、(10)式が成り立つ事を意味する。即ち、「第1族のすべり線(その方向は $dy/dx = \tan(\varphi - \varepsilon)$)に沿、 $\chi - \varphi$ 」は一定であり、第2族のすべり線(その方向は $dy/dx = \tan(\varphi + \varepsilon)$)に沿、 $\chi + \varphi$ 」は一定である。²⁾

いま、図5のように端面ごとの摩擦力が一定である($0 \leq \mu \leq \rho$)であるような剛な境界を介して圧縮されている粒状体の供試体の崩壊荷重(上界値) P_{max} を求める問題を考える。一様な拘束圧 σ_c が側面ACに作用していると、三角形ABC内の応力状態を求める問題はコーシー問題となり、OB上の最大主応力 σ_1 は、(11)式で一般的に与えられる。さらに、BD上の σ_1 が求められれば、力のつりあいから、 P_{max} の値は w を留とて、(12)式で与えられる。 BD 上の σ_1 は次の方法で近似的に求まる。 BD 上の一点Pを通過する第1族のすべり線を図6に示すようにab、bを通る第2族のすべり線をbcとする。

条件: 点aで $\chi = \chi_a$, $\varphi = \varphi_a = 0$, 点bで $\chi = \chi_b$, $\varphi = \varphi_b = \vartheta$,

点cで $\chi = \chi_c$, $\varphi = \varphi_c = 0$

を(13)式に代入すると(14)式が得られる。一方、a, b, cの座標; $(\chi_a = 0, y_a)$, $(\chi_b = -h/2, y_b)$, $(\chi_c = 0, y_c)$ を(8)式を差分化して(15)式に代入して解くと、(16)式を得る。ここで近似式(17)式が成り立つとすれば、多少の計算の後(18)式を得る。よって 図1. 供試体端面拘束

しない1D×1D-Aを用いて(10)式を(18)式から(19)式が得られる。(19)式における y_B, χ_B はB端におけると χ の値であり(20)式で与えられる。又、 図2. 所(土)の変形を拘束する工法、図4. Mohr-Coulombの破壊基準

$$\begin{aligned} & \left\{ \begin{array}{l} \frac{\partial \sigma_x}{\partial x} - \frac{\partial \tau_{xy}}{\partial y} = 0 \\ \frac{\partial \sigma_y}{\partial y} + \frac{\partial \tau_{xy}}{\partial x} = 0 \end{array} \right. \quad (1) \\ & \left. \begin{array}{l} \sigma_x = \sigma(t : \sin \rho \cos 2\varphi) \\ \tau_{xy} = \sigma \sin \rho \sin 2\varphi \end{array} \right. \quad (2) \\ & (1 - \sin \rho \cos 2\varphi) \frac{\partial \sigma}{\partial x} - \sin \rho \sin 2\varphi \frac{\partial \sigma}{\partial y} \\ & \quad 2\sigma \sin \rho (\sin 2\varphi \frac{\partial \varphi}{\partial x} - \cos 2\varphi \frac{\partial \varphi}{\partial y}) = 0 \quad (3-1) \\ & \sin \rho \sin 2\varphi \frac{\partial \sigma}{\partial x} + (1 - \sin \rho \cos 2\varphi) \frac{\partial \sigma}{\partial y} \\ & \quad + 2\sigma \sin \rho (\cos 2\varphi \frac{\partial \varphi}{\partial x} + \sin 2\varphi \frac{\partial \varphi}{\partial y}) = 0 \quad (3-2) \\ & \epsilon = \frac{\pi}{4} - \frac{\rho}{2} \quad (4) \\ & \left[\frac{\partial \sigma}{\partial x} + 2\sigma \tan \rho \frac{\partial \varphi}{\partial x} \right] \cos(\varphi + \epsilon) \\ & \quad + \left[\frac{\partial \sigma}{\partial y} + 2\sigma \tan \rho \frac{\partial \varphi}{\partial y} \right] \sin(\varphi + \epsilon) = 0 \quad (5) \\ & x = \frac{\cos \varphi}{2} / m \frac{\sigma}{k} \quad (k = \text{constant}) \quad (6) \\ & \frac{\partial}{\partial x} (\chi + \varphi) \cos(\varphi + \epsilon) + \frac{\partial}{\partial y} (\chi - \varphi) \sin(\varphi + \epsilon) = 0 \quad (7) \\ & \frac{\partial y}{\partial x} = \tan(\varphi + \epsilon) \quad (8) \\ & d(\chi + \varphi) = 0 \quad (9) \\ & \chi = \varphi \quad \text{一定} \quad (10) \end{aligned}$$

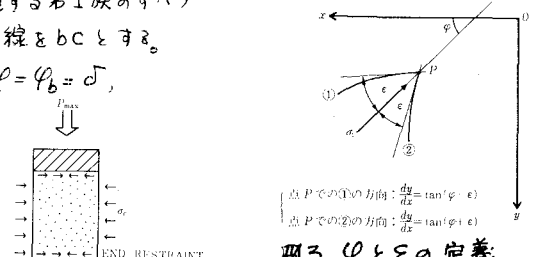
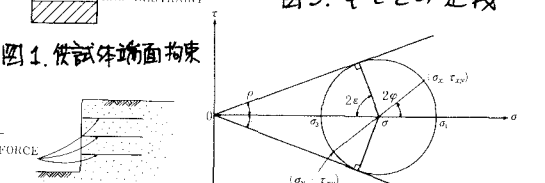


図3. φ と ε の定義



点BD上の点(座標 $(0, y)$)での σ_1 の値は、(6)式、(19)式、(20)式から得られる(21)式で与えられる。 (12)式は(22)式になるので、(11)式の σ_{1B} 、(21)式の σ_1 を(22)式に代入して積分すると以下の様になる。積分を簡略化するためには(23)式で定義する B 、(25)式で定義する P_1 を導入すると積分の結果は(24)式となる。 P_1 は変形を拘束した事による崩壊荷重の増加分を正規化した10%X-ターミネーターとも言うべきものであり、(24)式で与えられる P_1 を(25)式に代入する事により P_{max} の値が求まる。ただし、 $\{P_{max}\}_{\delta=0}$ は、 $\delta=0$ の時の P_{max} の値で(26)式で与えられる。(24)式は(27)式に対応して成立し、 $d \leq h \tan \epsilon$ の時(28)式が成立する。同様に(23)式から $\delta=0$ の時は a/d の値によらず $B=0$ となり、(28)式が成立する。図7は P_1 と B の関係を示す。

次に図8の様な端面の摩擦角がある軸対称円筒供試体の場合を考える。 P_{max} は $1/2$ 高さ上の鉛直応力 σ_1 を積分して得られる(29)式。(29)式で σ_1 は(21)式で、 σ_{1B} は(11)式で与えられる。積分の結果は(30)式で与えられるが、 B は(23)式で与えられ、 P_2 は(31)式で与えられる。図7には P_2 と B の関係を示してある。この場合も $d \leq h \tan \epsilon$ 、 $\delta=0$ の時は $P_2=0$ であり、 $P_{max} = \{P_{max}\}_{\delta=0}$ 。(26)式である。図7から分かるることは、同一の B の値に対して平面ひずみ、あるいは長方形供試体の方が円筒供試体よりも端面拘束効果が大きい事である。これは(21)式に示す様に、 σ_1 は側面から供試体中心に向かうにつれて大きくなるが、円筒供試体では σ_1 の大きい部分が相対的に狭くなっているからである。

例題として、 $d=7cm$, $h=3cm$, $\rho=45^\circ$ ($\pi/4$) の円筒型供試体の場合で計算する。

見かけ上の平均最大主応力 σ_{1max} を $P_{max}/(\frac{1}{4}d^2)$ とすると、

$$(\sigma_1/\sigma_3)_{max} = \begin{cases} 5.83 & (\delta=0) \\ 83.5 & (\delta=\rho) \end{cases}$$

となり、端面の拘束の効果は非常に大きいことを示している。

謝辞 大学院生高野公寿、金藤浩司両氏との討論が大変参考になった。末筆ながら感謝の意を表します。

参考文献

1) 山口柏樹、"土の塑性力学"、最上武雄編
土質力学第7章、技報堂土木工学叢書、1967

2) Sokolovskii, V. V.: *Statics of Granular Media*, Pergamon Press, 1965 (Translated from Russian).

$$\begin{aligned} \sigma_{1B} &= \frac{1 + \sin \rho}{1 - \sin \rho} \sigma_e \quad (\text{OB 上で } \delta=0) & (11) \\ P_{max} &= 2w \int_{y_0}^{d/2} \sigma_1 dy & (12) \\ &= 2w \left[(\sigma_1 y + y_0) + \int_{y_0}^{d/2} \sigma_1 dy \right] & (22) \\ &= 2w \left(\frac{\cos \delta + \sin \rho}{\cos \rho} \right) \tan \rho \left(\frac{d}{h} - \tan \epsilon \right) & (23) \\ \chi_a - \varphi_a &= x_a - \varphi x_a & (13) \\ &= (x_a - x_b) \tan \left(\frac{\varphi_a + \varphi_b}{2} - \epsilon \right) & (24) \\ x_c - x_a &= 2\delta & (14) \\ y_a - y_b &= (x_a - x_b) \tan \left(\frac{\varphi_a + \varphi_b}{2} - \epsilon \right) & (15) \\ y_c - y_b &= (x_c - x_b) \tan \left(\frac{\varphi_a + \varphi_b}{2} - \epsilon \right) & (16) \\ g_1 &= \frac{h}{2} \left\{ \tan \left(\frac{\delta}{2} + \epsilon \right) - \tan \left(\frac{\delta}{2} - \epsilon \right) \right\} & (17) \\ &= d \tan \epsilon & (27) \\ P_1 &= 0 & (28) \\ \frac{dx}{dy} &= \frac{x_a - x_b}{y_a - y_b} & (18) \\ &= \frac{2\delta}{h} \frac{\cos \delta + \sin \rho}{\cos \rho} + A & (19) \\ &= \frac{d}{h} \frac{\tan \epsilon}{\tan \rho} + A & (20) \\ &= \frac{h}{2} \tan \epsilon, \quad x_b = \frac{10.19}{2} \ln \{(\sigma_1)_a/k\} & (21) \\ &= k \exp(x_b + 2 \tan \rho) & (22) \\ &= k (1 + \sin \rho) \exp(x_b + 2 \tan \rho) \cdot \exp(A(y - y_b) + 2 \tan \rho) & (23) \\ &= \sigma_1 \exp(A(y - y_b) + 2 \tan \rho) & (24) \end{aligned}$$

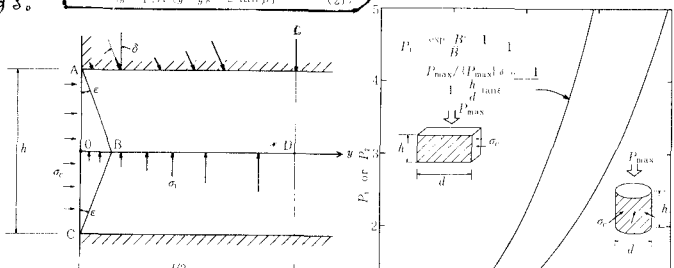


図7. 端面拘束効果を表す関係

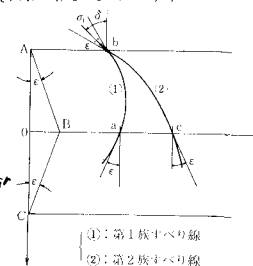


図6. すべり系の作図

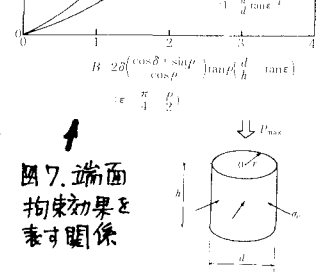


図8. 問題例